

УДК 681.5

ББК 3965-021.1 8631

О.А. Сущенко, канд. техн. наук

ДОСЛІДЖЕННЯ ВЗАЄМОЗВ'ЯЗКУ ПОКАЗНИКІВ ВІРОГІДНОСТІ КОНТРОЛЮ З ЕКСПЛУАТАЦІЙНИМИ ХАРАКТЕРИСТИКАМИ ВИМІРЮВАЧІВ НАВІГАЦІЙНИХ ПАРАМЕТРІВ

Запропоновано спосіб установлення взаємозв'язків між показниками вірогідності контролю і експлуатаційними характеристиками вимірювачів навігаційних параметрів. Виконано аналіз методичної складової вірогідності контролю.

Основним критерієм, що дозволяє оцінити якість контролю вимірювачів навігаційних параметрів, є його вірогідність. У науково-технічній літературі існують різні підходи до оцінки показників вірогідності контролю [1]. Значну кількість робіт [2] присвячено проблемі встановлення взаємозв'язку між показниками точності вимірювання та оптимальними значеннями параметрів, що контролюються. Але при цьому не враховується необхідність дослідження зв'язку показників вірогідності контролю вимірювачів навігаційних параметрів з їхніми конструктивними та експлуатаційними характеристиками.

Вимоги до зниження масогабаритних характеристик перспективних вимірювачів навігаційних параметрів у сукупності з тією обставиною, що ці характеристики значною мірою залежать від точності, вимагають дослідження взаємозв'язку показників вірогідності контролю з масогабаритними і точністями характеристиками.

Інструментальна складова вірогідності контролю характеризується умовною ймовірністю отримання рішення «не годиться» за умови контролю параметра, значення якого в дійсності відповідає заданим вимогам (імовірністю хибної відмови P_{XB}) і умовною ймовірністю отримання рішення «годиться» за умови контролю параметра, значення якого в дійсності не відповідає заданим вимогам (імовірністю невизначеності відмови P_{HB}). Імовірності появи хибної та невизначеності відмов визначаються виразами [3]:

$$P_{XB} = \int_{m_x-a}^{m_x+a} f_1(x) \left[\int_{-\infty}^{m_x-b} f_2(x, y) dy + \int_{m_x+b}^{\infty} f_2(x, y) dy \right] dx; \quad (1)$$

$$P_{HB} = \int_{-\infty}^{m_x-a} f_1(x) \left[\int_{m_x-b}^{m_x+b} f_2(x, y) dy \right] dx + \int_{m_x+a}^{\infty} f_1(x) \left[\int_{m_x-b}^{m_x+b} f_2(x, y) dy \right] dx; \quad (2)$$

$$f_1(x) = \frac{1}{\sigma_x \sqrt{2\pi}} e^{-\frac{(x-m_x)^2}{2\sigma_x^2}};$$

$$f_2(x, y) = \frac{1}{\sigma_y \sqrt{2\pi}} e^{-\frac{(y-x)^2}{2\sigma_y^2}},$$

де m_x – математичне сподівання контролюваного параметра; a – граничне відхилення контролюваного параметра в умовах експлуатації; $f_1(x)$ – щільність імовірності розподілу контролюваного параметра x ; b – граничне відхилення контролюваного параметра в умовах контролю; $f_2(x, y)$ – щільність імовірності розподілу вимірюваного параметра y ; σ_x – середньоквадратичне відхилення контролюваного параметра; σ_y – середньоквадратичне відхилення похибки вимірювань.

У випадку симетричності граничних відхилень параметрів вирази (1), (2) можуть бути подані у вигляді

$$P_{XB} = 4 \int_0^{m_x+a} f_1(x) \left[\int_{m_x+b}^{\infty} f_2(x, y) dy \right] dx; \quad (3)$$

$$P_{HB} = 4 \int_{m_x+a}^{\infty} f_1(x) \left[\int_0^{m_x+b} f_2(x, y) dy \right] dx. \quad (4)$$

У дійсності контролювані параметри мають скінчений розподіл. У зв'язку з цим у співвідношеннях (3), (4) необхідно визначити межі інтегрування.

Оскільки завжди виконується умова

$$P_{HB} = \frac{2}{\sigma_x \sqrt{2\pi}} \int_{m_x+a}^{\infty} e^{-\frac{(x-m_y)^2}{2\sigma_y^2}} \left[\frac{2}{\sigma_y \sqrt{2\pi}} \int_0^{m_x+b} e^{-\frac{(y-x)^2}{2\sigma_y^2}} dy \right] dx < \frac{2}{\sigma_x \sqrt{2\pi}} \int_{m_x+a}^{\infty} e^{-\frac{(x-m_x)^2}{2\sigma_x^2}} dx, \quad (5)$$

то для встановлення скінченого значення межі інтегрування достатньо розглянути праву частину нерівності (5), яка після заміни змінних

$$\frac{x-m_x}{\sigma_x} = u, \quad dx = \sigma_x du$$

набуває вигляду

$$J = \frac{2}{\sqrt{2\pi}} \int_{\frac{a}{\sigma_x}}^{\infty} e^{-\frac{u^2}{2}} du. \quad (6)$$

Виходячи з теореми про сегментацію інтеграла співвідношення (6) можна подати у вигляді

$$\frac{2}{\sqrt{2\pi}} \int_{\frac{a}{\sigma_x}}^{\infty} e^{-\frac{u^2}{2}} du = \frac{2}{\sqrt{2\pi}} \int_{\frac{a}{\sigma_x}}^{\frac{ka}{\sigma_x}} e^{-\frac{u^2}{2}} du + \frac{2}{\sqrt{2\pi}} \int_{\frac{ka}{\sigma_x}}^{\infty} e^{-\frac{u^2}{2}} du, \quad (7)$$

де k – ціла позитивна величина.

Як виходить із співвідношення (7), для визначення межі інтегрування, яка забезпечить обчислення інтеграла із заданою точністю ε , необхідно виконати умову

$$\frac{2}{\sqrt{2\pi}} \int_{\frac{ka}{\sigma_x}}^{\infty} e^{-\frac{u^2}{2}} du = \varepsilon.$$

Значення межі інтегрування на основі заданої точності ε може бути знайдено за допомогою відповідних таблиць.

Для n параметрів імовірність виникнення хоча б однієї відмови (хибної або невизначені) знаходиться за допомогою співвідношень:

$$P_{XB} = 1 - \prod_{i=1}^n (1 - P_{XB_i});$$

$$P_{HB} = 1 - \prod_{i=1}^n (1 - P_{HB_i}),$$

де P_{XB_i} , P_{HB_i} – імовірності хибної і невизначененої відмов для i -го параметра.

Дослідження проблеми встановлення взаємозв'язку точнісних і масогабаритних характеристик та показників вірогідності контролю вимірювачів навігаційних параметрів має велике значення для вирішення питань проектування систем керування в цілому. Це зумовлено тим, що похибки каналів систем керування значною мірою залежать від точнісних параметрів вимі-

ріювачів навігаційних параметрів. До того ж зміна точнісних характеристик системи керування значно впливає на її масогабаритні характеристики.

Взаємозв'язок точнісних параметрів і масогабаритних характеристик гіроприладів, які є одними з найбільш поширеніх вимірювачів навігаційних параметрів, може бути описаний співвідношенням, отриманим на основі роботи [4] і статистичних відомостей про конструктивні особливості гіроприладів різного типу:

$$\sigma_x = \frac{1}{3} \sqrt{\left(\frac{k_T}{\left(\frac{V}{\pi k k_{kn} N^3} \right)^{4/3}} \Omega^2 + k_f \right)},$$

де V – об'єм гіроприладу; k – математичне сподівання співвідношення між висотою d і радіусом ротора гіромотора R : $k = m[d/R]$; k_{kn} – математичне сподівання критерію конструктивної подібності: $k_{kn} = m[V/V_p]$; V_p – об'єм ротора; N, k_f, k_T – коефіцієнти, які враховують конструктивні особливості гіроприладів різного типу; Ω – швидкість власного обертання ротора.

Взаємозв'язок інструментальної складової вірогідності контролю з точнісними і масогабаритними характеристиками гіроскопічних вимірювачів навігаційних параметрів ілюструється залежностями, поданими на рис. 1.

Невизначені та хибні відмови можуть бути також обумовлені методичними похибками контролю. Ймовірність виникнення невизначених відмов проаналізуємо з урахуванням інструментальної та методичної складових. Остання у цьому випадку може визначатись виразом

$$P'_{HB} = 1 - (1 - P_{HB})(1 - P_{HBH_1})(1 - P_{HBH_2}),$$

де P'_{HB} – ймовірність виникнення невизначеної відмови з урахуванням методичної складової вірогідності контролю; P_{HBH_1} – складова, обумовлена недостатньою інформацією про стан окремих пристрій; P_{HBH_2} – складова, обумовлена відміною зовнішніх умов контролю від умов експлуатації.

Методична складова вірогідності контролю, зумовлена недостатньою інформацією про стан окремих пристрій, може бути визначена таким співвідношенням:

$$P_{HBM_1} = 1 - e^{-\sum_{i=1}^l \lambda_i t_{xp}},$$

де l – кількість елементів, яка не контролюється; λ_i – інтенсивність відмови i -го елемента в умовах зберігання; t_{xp} – час зберігання гіроприладу.

Величина методичної складової, зумовленої недостатньою інформацією про стан окремих пристрій, визначається структурними особливостями вимірювачів навігаційних параметрів і може бути зменшена за рахунок збільшення повноти контролю, тобто збільшення кількості елементів, що контролюються.

Проаналізуємо методичну складову вірогідності контролю, зумовлену відміною умов контролю та експлуатації. Для x_i -го параметра ця методична складова визначається виразом

$$P_{HBM_{2i}} = 2\Phi\left(\frac{b_i}{\sigma_{x_{i0}}}\right) \left[1 - 2\Phi\left(\frac{a_i}{\sigma_{x_i}}\right) \right], \quad (8)$$

де 2Φ – подвійний інтеграл Лапласа, який визначає ймовірність знаходження похибок параметра із середньоквадратичними відхиленнями $\sigma_{x_{i0}}$ (σ_{x_i}) в інтервалі $b_i(a_i)$; b_i – граничне відхилення параметра x_i за умов контролю; $\sigma_{x_{i0}}$ – середньоквадратичне відхилення за умов контролю; a_i – граничне відхилення параметра x_i за умов експлуатації; σ_{x_i} – середньоквадратичне відхилення за умов експлуатації.

Отже, методична складова вірогідності контролю $P_{HBM_{2i}}$ враховує можливість знаходження параметра x_i в межах граничних значень b_i у процесі контролю і виходу параметра x_i за межі граничних значень a_i в умовах експлуатації.

Для r видів контролю технічного стану вираз (8) приймає вигляд

$$P_{HBM_{2i}} = 2^r \prod_{j=1}^r \Phi\left(\frac{b_{ij}}{\sigma_{x_{0j}}}\right) \left[1 - 2\Phi\left(\frac{a_i}{\sigma_{x_j}}\right)\right],$$

де b_{ij} – граничне значення i -го параметра при j -му виді контролю.

Характер зміни методичної складової вірогідності контролю, обумовленої відміною умов контролю і експлуатації, при різних видах контролю відповідає графіку, поданому на рис. 2.

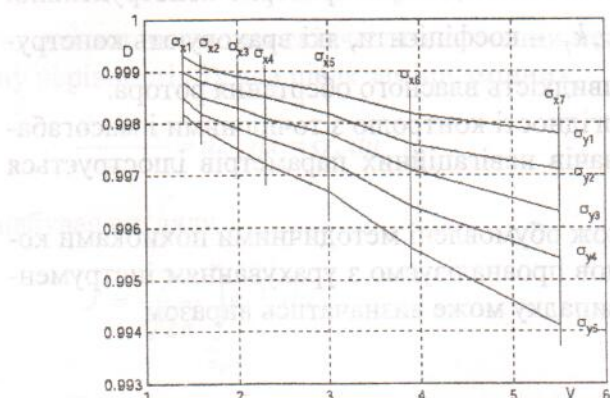


Рис. 1. Взаємозв'язок інструментальної вірогідності контролю з характеристиками навігаційних вимірювачів

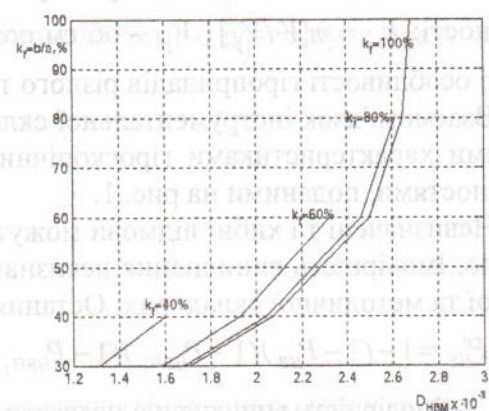


Рис. 2. Характер зміни методичної складової вірогідності контролю при різних видах контролю

Для n параметрів методична складова вірогідності контролю P_{dyc_2} визначається співвідношенням

$$P_{HBM_2} = 1 - \prod_{i=1}^n (1 - P_{HBM_{2i}}).$$

Відповідні співвідношення для аналізу методичної складової вірогідності контролю, пов'язаної з виникненням хибних відмов, мають вигляд:

$$P_{XBM} = 2^r \prod_{j=1}^r \Phi\left(\frac{a_{ij}}{\sigma_{x_{0j}}}\right) \left[1 - 2\Phi\left(\frac{b_i}{\sigma_{x_j}}\right)\right].$$

Висновок. З метою підвищення якості ранніх етапів проектування виконано аналіз взаємозв'язку показників вірогідності контролю і експлуатаційних характеристик вимірювачів навігаційних параметрів. Для урахування відміни умов контролю і експлуатації запропоновано спосіб оцінки методичної складової вірогідності контролю вимірювачів навігаційних параметрів.

Список літератури

1. Автоматизированное проектирование сложных логических структур / Под ред. В.А. Горбачова. – М.: Энергия, 1978. – 304 с.
2. Автоматическая структура контроля радиоэлектронного оборудования / Под ред. Н.И. Пономарева. – М.: Сов. радио, 1975. – 328 с.
3. Разумный В.М. Оценка параметров автоматического контроля. – М.: Энергия, 1975. – 79 с.
4. Павлов В.А. Основы проектирования и расчета гирокомпенсаторов. – Л.: Судостроение, 1967. – 407 с.

Стаття надійшла до редакції 19.06.02.